

349054

成都工学院图书馆

其本館藏 高等学校教材

无线电技术基础

下 册

管致中 何振亚 貢 璧 編



人 民 教 育 出 版 社

12
5

無 線 電 技 術 基 础

下 冊

管致中 何振亞 貢 艷 編

人 民 教 育 出 版 社

本书系根据 1962 年 6 月审訂的高等工业学校“无线电技术基础”教学大纲(试行草案)編寫的;与上册內容相衔接。上册的內容是綫性系統,本册的內容則是非綫性系統。

本书首先討論非綫性系統的近似分析方法,然后研究高頻信号通过非綫性系統的各种頻率變換作用,包括諧振放大、倍頻、調制、檢波、变頻、拍頻等過程的基本原理,再轉入到正弦波自激振蕩器以及振蕩理論的研究,最后研究穩定理論。全书着重闡明物理概念;各章中均插有例題。

本书第十、十一、十四、十五、十六等章由管致中同志編寫,第十二、十三章由何振亚同志編寫。全书經馮秉銓同志審校。

本书可作为高等工业学校无线电技术类专业“无线电技术基础”課程的試用教科书,也可供相近专业的师生和有关科技工作人員参考。

无线电技术基础

下 册

管致中 何振亚 貢 壁 編

北京市书刊出版业营业許可证出字第 2 号

人民教育出版社出版(北京景山东街)

人 民 教 育 印 刷 厂 印 装

新 华 书 店 北京发 行 所 发 行

各 地 新 华 书 店 經 售

统一书号 K15010·1128 开本 850×1168 1/32 印张 8
字数 207,000 印数 0,001~8,500 定价(7) ￥0.90
1963 年 12 月第 1 版 1963 年 12 月北京第 1 次印刷

下册目录

第十章 非线性电路的分析方法	1
§ 10.1 引言	1
§ 10.2 分析非线性电路的基本方法	4
§ 10.3 非线性元件伏安特性的近似表示法	6
** § 10.4 非线性电路的线性分析法	16
§ 10.5 非线性电路的幂级数分析法	20
§ 10.6 非线性电路的折线分析法	23
§ 10.7 电子管的折合参数及电子管电路的等效电路	28
§ 10.8 用图解法求非线性电路中的谐波分量	31
第十一章 谐振放大和倍频	35
§ 11.1 引言	35
§ 11.2 弱信号谐振放大的原理	38
§ 11.3 电压谐振放大器中电压和电流的关系, 电压放大系数	43
§ 11.4 强信号谐振放大的原理	49
§ 11.5 功率谐振放大器中电压和电流的关系	54
§ 11.6 谐振放大器中的能量关系	59
§ 11.7 倍频	64
第十二章 调制	67
§ 12.1 引言	67
§ 12.2 调幅的方法	68
§ 12.3 栅极调幅	71
§ 12.4 板极调幅	78
§ 12.5 平衡调幅	83
§ 12.6 调频	87
第十三章 检波与变频	93
§ 13.1 引言	93
§ 13.2 调幅波的检波特性	95
§ 13.3 二极管检波	100
* § 13.4 多极管检波	108
§ 13.5 调频波的检波	113

§ 13.6 变频.....	117
§ 13.7 换频.....	123
第十四章 正弦波自激振荡器.....	125
§ 14.1 引言.....	125
§ 14.2 利用负电阻产生振荡.....	127
§ 14.3 反馈振荡器中振荡的物理过程.....	133
§ 14.4 反馈振荡器振荡的自激条件与平衡条件.....	137
§ 14.5 反馈振荡器中自激稳态振幅的建立.....	149
§ 14.6 正弦波 LC 自激振荡器线路.....	159
§ 14.7 正弦波 RC 自激振荡器线路.....	167
** § 14.8 振荡频率的稳定.....	175
† § 14.9 外电动势作用下的反馈系统.....	182
第十五章 关于振荡理论的几个问题.....	191
§ 15.1 引言.....	191
† § 15.2 范德堡方程.....	193
† § 15.3 范德堡方程的解.....	200
** § 15.4 以相位平面法研究自激振荡.....	206
† § 15.5 张弛振荡.....	214
第十六章 稳定理论.....	223
§ 16.1 引言.....	223
§ 16.2 系统的特征方程.....	224
§ 16.3 利用特征方程的根判别系统的稳定性, 罗斯-胡维茨准则.....	229
§ 16.4 利用幅度-相位特性曲线判别系统的稳定性, 奈奎斯特准则.....	237
索引.....	248

注: * 教学大纲中的机动内容

** 教学大纲中未列入的内容

† 比教学大纲要求较高的内容

第十章 非綫性电路的分析方法

§ 10.1 引言

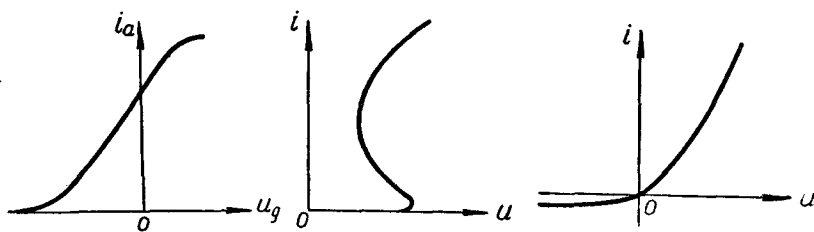
在本书第二章曾經指出，組成无綫电線路的元件可以分为綫性的和非綫性的。严格地說，所有的線路元件都是非綫性的，也就是它們的参数 R 、 L 、 C 总是要随外加电压或通过其中的电流而改变的。但是在正常工作状态下，这种参数的改变，对有些元件來說表現得很不显著，对另外一些元件來說則十分显著。事实证明，按照其参数是否可变来建立元件和电路的类别是方便的。

如果所有元件在正常情况下的参数都是常数，則由这些元件所組成的电路或系統，可用常系数綫性微分方程来描述。如果电路或系統中含有这样的元件，其参数随时间而变化，但变化規律与加于元件的电压或通过元件的电流无关，則此电路或系統可以用变系数綫性微分方程来描述。以上两种都是屬於綫性电路或綫性系統，因其線路方程都是綫性微分方程；但在許多文献中，也往往将后者另称为参变量（简称参量）电路或系統。如果电路或系統中含有这样的元件，其参数随加于元件两端的电压或通过元件的电流而变化，則此电路或系統是非綫性的，它須以非綫性微分方程来描述，即方程的系数随所求函数（电压或电流）之值而变。一般的参量元件都是利用非綫性元件电流和电压間的非綫性特性获得的，因此从获取参量元件的角度看，则由参量元件构成的电路又是非綫性的。同时又因为参量系統具有与非綫性系統相同的放大和頻率變換等作用，所以有时也可将参量元件放在非綫性系統中研究。在无綫电技术的实际应用中，也会遇到非綫性的参量系統，其中包含非綫性元件和参量元件，还有一些元件既具有非綫性特性，它

的参数又随时间按某种规律改变。

无线电技术中常用的非线性元件有各种电真空器件、离子器件、半导体器件(晶体管)、导磁系数 μ 不为常数的(即具有铁心的)线圈、介电系数 ϵ 不为常数的电容器等。其中电真空器件、离子器件以及在低频下工作的半导体器件通常都是电阻性的，其他各种器件则为电感性的或电容性的。本章将只研究具有电阻性的非线性元件的电路分析方法，因为这种电路是最基本的和常见的。在以后几章中，还会涉及参数随时间变化的元件的应用。

非线性元件的参数随着外加电压或通过元件的电流而变化，这时它的电流和外加电压间的关系，可以用画在直角坐标上的伏安特性曲线 $i=f(u)$ 来表示。显然，这种特性曲线不是直线，如图 10.1 所示，其中(a)、(b)、(c) 分别表示电子管、充气管及半导体二极管的伏安特性。



(a) 电子管的伏安特性 (b) 充气管的伏安特性 (c) 半导体二极管的伏安特性

图 10.1 非线性元件的伏安特性。

伏安特性既然不是线性的，则元件中电流的波形与外加电压的波形就将不同。外加电压常常是该非线性电路的输入，而输出则由上述通过元件的电流流经某一负载获得，所以在一般情况下，输出波形就将与输入波形不同。

例如在一电路的输入端加一由两个不同频率的正弦振荡组成的电压，即

$$u = U_{1m} \cos \omega_1 t + U_{2m} \cos \omega_2 t, \quad (10-1)$$

若这电路是線性的，則流經該电路各支路的电流以及在各元件上的压降将同样由此二頻率的正弦振蕩构成，也就是說信号通过線性系統，不会产生新的頻率分量。但是当将这电压加于一非線性元件时，如果后者的伏安特性为

$$i = a_0 + a_1 u + a_2 u^2, \quad (10-2)$$

則此时流过非線性元件的电流可将(10-1)式代入(10-2)式求得为

$$\begin{aligned} i &= a_0 + a_1 (U_{1m} \cos \omega_1 t + U_{2m} \cos \omega_2 t) \\ &\quad + a_2 (U_{1m} \cos \omega_1 t + U_{2m} \cos \omega_2 t)^2 \\ &= \left(a_0 + \frac{a_2}{2} U_{1m}^2 + \frac{a_2}{2} U_{2m}^2 \right) + a_1 (U_{1m} \cos \omega_1 t + U_{2m} \cos \omega_2 t) \\ &\quad + \frac{a_2}{2} (U_{1m}^2 \cos 2\omega_1 t + U_{2m}^2 \cos 2\omega_2 t) \\ &\quad + a_2 U_{1m} U_{2m} [\cos(\omega_1 - \omega_2) t + \cos(\omega_1 + \omega_2) t]. \end{aligned} \quad (10-3)$$

由此可见，在流过非線性元件的电流中，除輸入电压原有的頻率分量外，还产生了輸入电压中所沒有的諧波頻率分量以及其值为原有頻率的和与差的組合頻率分量。新頻率分量的产生必然使輸出波形与輸入波形之間发生差异，显然，这种波形变化与无线电信号通过線性系統所产生的波形畸变是根本不同的。非線性元件的这种頻率變換的作用具有十分重要的意义。

任何一个无线電設備，都是由線性元件和非線性元件配合組成的。線性电路的基本任务是傳送具有一定頻帶寬度的无线电信号，这已在前面數章作过詳細的分析；非線性电路的基本任务則是进行頻率變換。例如在发送設备中，由交流市电經過整流变成直流电能、直流电能經過振蕩器轉变为高頻振蕩的电能、高頻振蕩經過調制使它的某一参数按調制信号的規律变化等过程；在接收設设备中，接收下来的高頻已調振蕩經過变頻变为中頻已調振蕩、已調振蕩經過檢波檢拾出其中含有的原始信号等过程，都是頻率變換的过程。由前面(10-1)到(10-3)式可以看出，如果在非線性元件上加入单頻率的交流电压，则在通过元件的电

流中包含有直流分量和基波及諧波分量。當將所有的交流分量都設法用濾波器加以濾除時，就可以得到直流輸出；這一過程就是整流。如果(10-1)式所示兩個振蕩的頻率中， ω_1 代表載波角頻率， ω_2 代表調制信號的角頻率，則在(10-3)式的電流中即有角頻率为 ω_1 的載波分量以及角頻率为 $\omega_1 \pm \omega_2$ 的上、下邊頻分量。當將這些分量用諧振電路分出並濾除其他頻率分量時，就可以得到調幅。又如輸入電壓中 ω_1 代表接收信號中的載波角頻率， ω_2 為接收機中一個自備高頻振蕩器的振蕩角頻率，則在電流中有角頻率为 $\omega_1 - \omega_2$ 的中頻分量存在。當以諧振電路將此分量分出，就可以得到中頻輸出；這一過程稱為變頻。再如輸入電壓中有已調振蕩的載頻和上、下邊頻分量，則在輸出處可由選頻網路分出調制信號頻率的分量；這一過程就是檢波。此外，倍頻是將輸入振蕩頻率提高若干整數倍，也屬於頻率變換。由上述可見，各種頻率變換，都必需由非線性元件和線性元件來共同完成，沒有這兩類元件的聯合運用，無線電技術的傳輸信號的目的就無法達到。

無論是線性電路或非線性電路，電路分析的任務通常是給定電路特性及某種輸入，要求得在此輸入時電路的輸出。電路特性在線性電路中是阻抗、導納或傳輸系數等，在非線性電路中通常給出的是元件的伏安特性；輸入和輸出則可以是電壓，也可以是電流。具有複雜波形的激勵電源作用於線性電路的分析方法，是建立在諧波分析法和疊加原理聯合應用的基礎之上的；但是由於非線性元件的伏安特性不是線性的，所以上述分析線性電路的方法就不適用於非線性電路了。本章將對穩定狀態下的非線性電路的分析方法作一綜合討論，以供在以後幾章中分別研究各種非線性頻率變換時之用。

§ 10.2 分析非線性電路的基本方法

在第九章中已經討論了線性系統的分析方法。線性系統的分析方

法有很多種，但均可歸結為一個基本步驟，即首先將激勵電動勢（或電流）分解為若干單元激勵電動勢（或電流），其次根據系統的特性求出系統對各單元激勵的反應，最後應用疊加原理求出系統的總反應，即得所求結果。從數學上說，如果單元激動呈正弦形，則這個過程只是一個正弦振蕩相加的過程。但是因為非綫性元件的伏安特性曲線不是直線，由頻譜角度看，在輸出處產生了輸入處所沒有的新頻率分量，所以以疊加原理為基礎的分析方法也就不再適用。在數學上來說，由(10-3)式可以看出，分析過程不僅包含正弦振蕩的相加，還有振蕩的相乘。因而對於非綫性電路的分析，必須另外建立一套新的方法。

如前節所述，非綫性電路的分析任務通常是給定電路特性及某種輸入，要求得在此輸入時電路的輸出。電路特性對於綫性元件只須給出其參數即可，對於非綫性元件則常給出由實驗測得的伏安特性；輸入電源在常見的電子器件中多系電壓形式，輸出則是由通過非綫性元件的電流流經一以綫性元件組成的負載獲得；所以只要求得通過非綫性元件的電流，非綫性部分的分析任務即已完成。這一電流流經負載所得的結果，包括負載上的電壓、負載吸收的功率以及效率的計算等，均可以綫性系統分析方法處理。為了從頻譜的角度來研究輸出振蕩的特性，在求得通過非綫性元件的電流以後，還要求出此電流的頻譜，也就是將它表示為不同頻率的正弦振蕩之和。因此非綫性系統的分析工作，主要可以歸結為兩個步驟：第一，設法求得通過非綫性元件的電流的時間函數；第二，根據這函數求出其頻譜。

非綫性電路中的電流，從理論上說，也可利用基爾霍夫定律列出電路的微分方程，並且設法求解此微分方程得到。例如，當一串聯迴路中包含有鐵心線圈時（圖 10.2），則因鐵心的導磁系數 μ 是磁感應 B 的函數，因而也是迴路電流 i 的函數，於是線圈的電感量 L 也是電流 i 的函數，記為

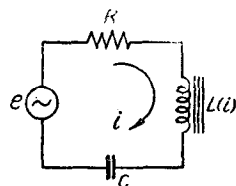


圖 10.2 含有鐵心線圈的串聯迴路。

$L(i)$; 此时迴路的微分方程为

$$L(i) \frac{di}{dt} + Ri + \frac{1}{C} \int i dt = e.$$

将上式对 t 微分并經整理, 得

$$\frac{d^2i}{dt^2} + \frac{R + \frac{d}{dt}L(i)}{L(i)} \cdot \frac{di}{dt} + \frac{1}{CL(i)} \cdot i = \frac{1}{L(i)} \frac{de}{dt}.$$

这是一个非綫性微分方程, 即使知道了电感量 L 对电流 i 的函数关系, 求解也很困难。这种非綫性微分方程的解法, 大多未作詳細研究; 有些虽已作了研究, 設法求出了解答, 也因結果甚为繁复, 不合工程实用。所以在实际工作中, 求电流常常不是用解非綫性微分方程的办法, 而是采用近似分析法。

非綫性电路中电流的近似求解法可用解析的方法, 也可用图解的方法。在采用解析法时, 外加电压的时间函数 $u(t)$ 是已知的, 如果非綫性元件的伏安特性的解析表示式 $i = f(u)$ 也知道, 則元件中电流的时间函数即可由直接代入法求得为 $i = f[u(t)] = \phi(t)$ 。所以, 求解电流的关键在于如何将非綫性元件的伏安特性用一解析函数表示出来。在采用图解法时, 若已知外加电压波形和元件的伏安特性曲綫, 則可用逐点繪制的办法将电流波形画出。

求得非綫性电路中电流以后, 要求出其中所包含的頻率分量, 包括基波分量、諧波分量以及組合頻率分量, 还需应用頻譜分析法; 这种分析法也可以是解析的或图解的。

本章以后几节, 将首先研究如何用解析函数来近似地表示非綫性元件的伏安特性, 然后按照不同函数所表示的伏安特性分別研究在給定外加电压下如何去求解电流及其所包含的頻率分量。

§ 10.3 非綫性元件伏安特性的近似表示法

近代无綫电技术中, 应用着具有各种伏安特性的非綫性元件, 而电

子管是其中最主要而基本的元件，因此这里以电子管的伏安特性为主进行研究。但这里所述的方法，很容易推广到具有其他非綫性元件的場合。

为了分析和計算电子管線路，必須知道电子管的靜特性曲綫。这些曲綫如图 10.3 所示，通常均由电子管的制造单位供給。图 10.3 中只列举了一些典型的特性曲綫，其中(a)是二极管的特性曲綫；(b)是氧化物阴极的三极管或多极管的板流和栅压特性曲綫（简称板栅特性），在一般工作情况下，它沒有明显的饱和現象；(c)是鎢阴极电子管的板栅特性曲綫，它有明显的饱和現象，其中 i_s 即为饱和电流。板栅特性只有当板压很高因而栅流影响可以忽略不計时才具有图 10.3(c) 的形状；如果栅流甚大而其影响必須計及，则板流 i_a 将随栅压 u_g 的增加而减小，如图 10.3(d) 所示，該图中的虛線是表示栅流和栅压間关系的特性曲綫。

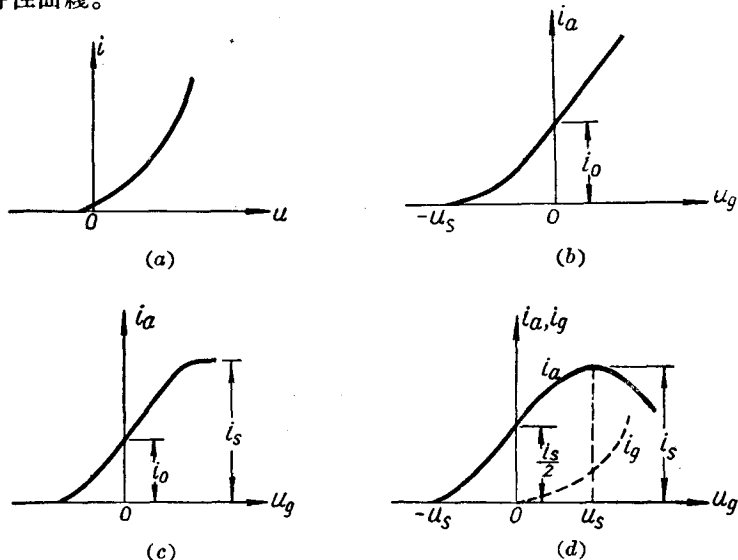


图 10.3 电子管的一些伏安特性曲綫。

到现在为止，对于电子管还没有从理論上导出各电极电压为任意

值时的管內电流与电极电压的关系，所以上述电子管特性曲綫只能近似地以解析方法来表示。以解析函数近似地表示伏安特性包含两个問題，一为选择一适当函数来近似地代表該特性曲綫，二为确定此函数的有关系数。所选的函数应能足够准确地代表所給的曲綫，并且要形式简单，便于工程計算。現在已有不少无綫电技术工作者根据不同的近似目的找出了不少函数，可以用来近似地表示电子管和其他非綫性元件的特性曲綫。这些函数約可分为下列几类：(1)幂多項式或幂級数，(2)指數多項式，(3)三角多項式，(4)其他超越函数，其中以第一类在实用中应用最广。选定了函数以后，这函数总有若干个未定系数，这些系数的确定方法通常和确定积分常数相似，即选择若干点，以这些点的函数值或导数值(由曲綫上求得)代入該近似表示式，可得一組联立方程式，它的解即为未定系数。

下面对于在无綫电技术中最常用的几种近似表示法分別加以研究。

1. 幂級数近似表示法

任何形状的曲綫均可用幂級数(即泰勒級数)来表示，因为任何函数 $f(x)$ ，当它的各阶导数均存在时，总可以表示为

$$\begin{aligned} f(x) = & f(x_0) + \frac{f'(x_0)}{1!}(x-x_0) + \frac{f''(x_0)}{2!}(x-x_0)^2 + \dots \\ & + \frac{f^{(k)}(x_0)}{k!}(x-x_0)^k + \dots \end{aligned} \quad (10-4)$$

这是函数 $f(x)$ 在点 x_0 处的泰勒公式。在非綫性元件的伏安特性中， $f(x)=i$ ， $x=u$ ， $x_0=U_0$ ，則电流以电压的幂級数表示的形式为

$$\begin{aligned} i = & f(u) = a_0 + a_1(u-U_0) + a_2(u-U_0)^2 + \dots \\ & + a_k(u-U_0)^k + \dots \end{aligned} \quad (10-5)$$

式中 $a_0=f(U_0)$ 为 $u=U_0$ 时函数 $f(u)$ 之值， $a_k=\frac{1}{k!}\left[\frac{d^k i}{du^k}\right]_{u=U_0}$ 为 $u=U_0$

时函数 $f(u)$ 的 k 次导数之值。在 $U_0=0$ 的特殊情况下，上述幂級数具

有麦克劳林級數的形式，即

$$i = f(u) = a_0 + a_1 u + a_2 u^2 + \cdots + a_k u^k + \cdots, \quad (10-6)$$

此时式中 $a_0 = f(0)$, $a_k = \frac{1}{k!} \left[\frac{d^k i}{du^k} \right]_{u=0}$.

上述幕級數所取項數的多少應由近似條件來決定，要求近似的準確度愈高或此近似式能表示的曲線範圍愈寬，所取的項數就愈多。但是在實用上為便於計算，不可能取太多的項數。在一般情況下，可視近似條件分別取到電壓 u 的一次項、二次項或三次項，而很少有應用高於五次的多項式。下面再分別就直線表示法、二次多項式表示法和三次多項式表示法加以討論。

(1) 直線表示法 如果電子管只工作在特性曲線上近於直線的部分，或者輸入信號足夠小，使電子管只工作在特性曲線的很小一段上，因而可以把這一小段曲線近似地看成為直線，則電子管的特性曲線都可以用一條直線來代表。當然在這兩種情況下，兩條直線的方程式是不一樣的。前一種情況，如圖 10.4，對於板極電源電壓為 E_a 的 $i_a - u_g$ 特性曲線，可直接寫出其直線方程式為

$$i_a = i_0 + S u_g, \quad (10-7)$$

式中 i_0 是 $u_g = 0$ 時的板流， S 是電子管的靜跨導，即其特性曲線直線部分的斜率。此式實際為 (10-6) 式的前兩項，只是係數 $a_0 = i_0$, $a_1 = S$ 而已。電流 i_a 系由板極電壓 E_a 決定，故可用 E_a 表出。設 E_{a0} 是起始板極電壓，對應於此電壓的理想化（即直線化）了的特性曲線通過原點，也就是若特性曲線為直線，這電壓是柵壓為零時沒有板流的板極電壓。在理想化的特性曲線系統中，柵壓不變而板壓由 E_{a0} 增至 E_a 所得的板流

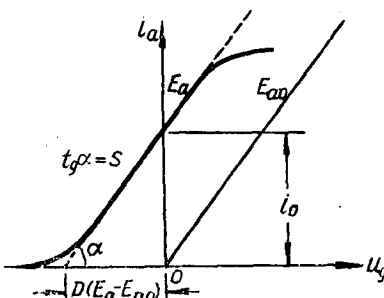


圖 10.4 電子管特性曲線的直線表示法。

增量，等于板压不变而栅压增加 $D(E_a - E_{a0})$ 所得的板流增量，其值即为 i_0 。这是很容易由图 10.4 中看出的。这里 D 是电子管的渗透率，以 $D = \left[-\frac{\partial u_g}{\partial u_a} \right]_{i_a=\text{常数}}$ 定义。于是有

$$i_0 = SD(E_a - E_{a0}) = SDE'_a,$$

式中 $E'_a = E_a - E_{a0}$ 。这样，(10-7)式就具有下列形式：

$$i_a = S(u_g + DE'_a). \quad (10-8)$$

通常栅压 u_g 是由一直流偏压与一交流信号电压组成，可以记为

$$u_g = E_g + u_{g\sim}, \quad (10-9)$$

式中 E_g 是直流偏压， $u_{g\sim}$ 是栅压中的交流分量。将此式代入(10-7)式或(10-8)式，可以看出板流 i_a 中也有直流和交流两部分，其中交流部分为

$$i_{a\sim} = Su_{g\sim}. \quad (10-10)$$

可見在这种情况下，板流和栅压的交流分量間也具有線性关系。但这里的討論都是由靜特性曲綫引出的，即所考慮的是板极电路中沒有負載的情况；此时电子管上的板压 u_a 等于板源电压 E_a 。当板极电路中接有負載时，板压 u_a 将随負載上压降而变化；此时板流中交流分量 $i_{a\sim}$ 将不仅决定于栅压中交流分量 $u_{g\sim}$ ，并且与板压中的交流分量 $u_{a\sim}$ 有关；但这种关系仍可以一直綫方程式来表示。关于这一問題还将在以后討論。

(2) 二次多项式表示法 若取(10-6)式的前三項，可得特性曲綫的二次多项式近似表示式

$$i_a = a_0 + a_1 u_g + a_2 u_g^2. \quad (10-11)$$

这是一頂点不在原点的抛物綫。若此曲綫的頂点在 u_g 軸上并在原点之左，如图 10.5 所示，则曲綫的右枝近頂点部分与图 10.3(b) 所示特性曲綫在接近截止的部分相似，其他部分則差別較大；曲綫的左枝当然 是不适用的。若以(10-11)式的右枝(即 AC 段)近似地表示图 10.3(b)

的特性曲線，并令此近似曲線上A、B两点与特性曲線上相应的点重合，则可根据特性曲線上这些点的函数值及导数值来确定(10-11)式中的系数。比較两曲線，显然有：

$$\left. \begin{aligned} \text{当 } u_g = 0 \text{ 时, } i_a = a_0 = i_0; \\ \text{当 } u_g = 0 \text{ 时, } \left[\frac{di_a}{du_g} \right]_{u_g=0} = a_1 = S; \\ \text{当 } u_g = -u_s \text{ 时, } i_a = a_0 - a_1 u_s + a_2 u_s^2 = 0. \end{aligned} \right\}$$

解此联立方程式，可得

$$\begin{aligned} a_0 &= i_0, \\ a_1 &= S, \\ a_2 &= -\frac{i_0 - Su_s}{u_s^2}. \end{aligned}$$

于是(10-11)式具有如下的形式：

$$i_a = i_0 + S u_g - \frac{i_0 - Su_s}{u_s^2} u_g^2.$$

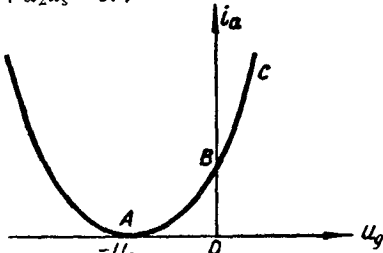


圖 10.5 电子管特性曲线的二次多项式表示法。

用二次多项式表示特性曲線的准确度不高，不能作为定量計算的根据，但常在对于非綫性频率变换作定性的物理說明时应用。

(3) 三次多项式表示法 在分析非綫性电路时，有时也用缺少二次方項的三次多项式，即将近似式写为

$$i_a = a_0 + a_1 u_g + a_2 u_g^3 \quad (10-12)$$

这是一立方抛物线。若此曲線的最小值点在 u_g 軸上并在原点之左，如图 10.6 所示，则曲線的AD段与图 10.3(d)計及栅流影响的三极管特性曲線大致相符。設特性曲線是对称的，

即板流为零及为饱和电流 i_s 分別出現在栅压 u_g 为 $-u_s$ 及 $+u_s$ 之处，当栅压为零时，板流为 $\frac{i_s}{2}$ 。令

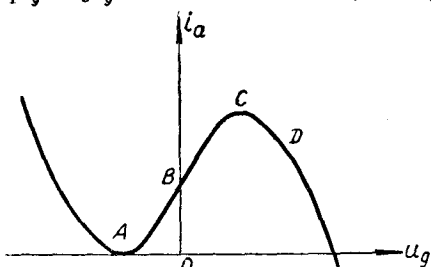


圖 10.6 电子管特性曲线的三次多项式表示法。

图 10.6 曲线上 A、B、C 諸点与特性曲线的相应各点重合，则可列出以下諸式：

$$\left. \begin{array}{l} \text{当 } u_g=0 \text{ 时, } i_a=a_0=\frac{i_s}{2}; \\ \text{当 } u_g=0 \text{ 时, } \left[\frac{di_a}{du_g} \right]_{u_g=0}=a_1=S; \\ \text{当 } u_g=u_s \text{ 时, } \left[\frac{di_a}{du_g} \right]_{u_g=u_s}=a_1+3a_3u_s^2=0. \end{array} \right\}$$

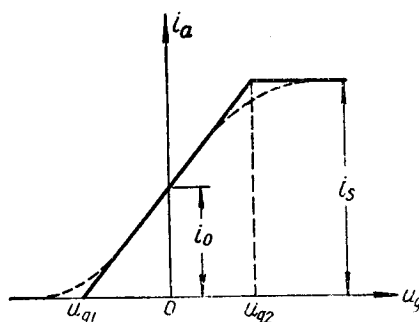
由上面的联立方程式中解出 a_0 、 a_1 、 a_3 ，并代入(10-12)式，得

$$i_a = \frac{i_s}{2} + Su_g - \frac{S}{3u_s^2}u_g^3$$

若由近似曲线上再找一个条件，还可将上式系数中 u_s 与 i_s 之一消去。若特性曲线不是对称的，用类似的方法亦可定出近似的系数。

三次多项式近似表示法可用于振荡理论的分析，但在工程计算中则不常采用。

2. 折线近似表示法



这种近似表示法是用几个直綫段所組成的折綫来代替实际的特性曲綫。直綫方程是幂級数的一种特例，所以折綫表示法在实质上是和幂級数表示法一样的，不过此法对于特性曲綫的不同区段是用不同的幂級数来表示而已。图 10.7 中的虛曲綫是电子

管的特性曲綫，这曲綫現在用三个直綫段来代表如下：

$$\text{当 } u_g < u_{g1} \text{ 时, } i_a = 0; \quad (10-13a)$$

$$\text{当 } u_{g1} < u_g < u_{g2} \text{ 时, } i_a = i_0 + Su_g; \quad (10-13b)$$